



## شبیه‌سازی مکانی و تهیه نقشه حساسیت فرونشست زمین با استفاده از مدل بیشینه آنتروپی

سحر عبدالله<sup>۱</sup>, حمیدرضا پورقاسمی<sup>۲</sup>, غلامعباس قنبریان<sup>۱</sup> و روجا صفائیان<sup>۱</sup>

۱- بخش مهندسی منابع طبیعی و محیط زیست، دانشکده کشاورزی، دانشگاه شیراز  
۲- بخش مهندسی منابع طبیعی و محیط زیست، دانشکده کشاورزی، دانشگاه شیراز، (نویسنده مسؤول: hr.pourghasemi@shirazu.ac.ir)  
تاریخ دریافت: ۱۱/۱۷/۹۶  
تاریخ پذیرش: ۰۵/۰۶/۹۷  
صفحه: ۱۳۳ تا ۱۴۴

### چکیده

هدف از پژوهش حاضر شبیه‌سازی مکانی و تهیه نقشه حساسیت فرونشست زمین با استفاده از مدل بیشینه آنتروپی در شهرستان‌های جیرفت و عنبرآباد است. بدین منظور ابتدا موقعیت فرونشست‌های زمین با استفاده از بازدیدهای گستردگی میدانی مشخص و پس از آن نقشه پراکنش فرونشست زمین منطقه مورد مطالعه در محیط سامانه اطلاعات جغرافیایی (GIS) تهیه گردید. سپس هر یک از عوامل موثر بر وقوع فرونشست زمین از قبیل درصد وجهت شیب، طبقات ارتفاعی، انحدار نیمروز، انحدار سطح، شاخص رطوبت توپوگرافی، فاصله از آبراهه، واحدهای سنگ‌شناستی، داده‌های پیزومتری، کاربری اراضی و شاخص تفاضلی پوشش گیاهی نرمال شده (NDVI) در محیط GIS تهیه و بعد از آن با استفاده از روش نسبت فراوانی (FR) وزن طبقات مربوط به هر عامل مشخص شد. نهایتاً نقشه پهنه‌بندی حساسیت فرونشست زمین با استفاده از مدل بیشینه آنتروپی برای منطقه مورد مطالعه تهیه گردید. نتایج ارزیابی مدل با استفاده از ۳۰ درصد نقاط استفاده شده در فرآیند شبیه‌سازی و بر اساس منحنی تشخیص عملکرد نسبی (ROC) نشان داد، نقشه حساسیت فرونشست زمین تهیه شده با استفاده از مدل بیشینه آنتروپی صحبت بالای (۸۵٪) دارد. بنابراین نقشه پهنه‌بندی مذکور می‌تواند نقش به سزایی در تعیین مناطق بحرانی از نظر بهره‌برداری آب و تخریب سفره‌های آب زیرزمینی در منطقه مورد مطالعه داشته باشد.

واژه‌های کلیدی: بیشینه آنتروپی، سامانه اطلاعات جغرافیایی، فرونشست زمین، نسبت فراوانی

نموده است. با توجه به این که مناطق ذکر شده به لحاظ اقلیمی جزء مناطق گرم و خشک محسوب می‌شوند و تنها منبع تامین کننده آب در این مناطق آب‌های زیرزمینی می‌باشد، با ادامه‌ی روند خشکسالی‌ها و کاهش سطح آب‌های زیرزمینی پدیده فرونشست زمین در حال گسترش است و به طور بیوسته بر وسعت آن افزوده می‌شود. نظر به این که حدود ۸۰ درصد فعالیت‌های ساکنین مناطق عنبرآباد و جیرفت به بخش کشاورزی اختصاص دارد، لذا آسیب‌های وارد شده از سوی این عامل مخرب به زمین‌های کشاورزی و مناطق مسکونی و اثرات نامطلوب آن بر زندگی ساکنین بالاخص کشاورزان و پیامدهای اقتصادی ناشی از آن، بیان گر شده است. در ایران فرونشست زمین ساقه‌ای نسبتاً طولانی (بیش از چند دهه) دارد (۳۲).

روش‌های گوناگونی جهت بررسی و فرآیند شبیه‌سازی پدیده‌ها در جهان صورت گرفته است. یکی از روش‌های کاربردی و قابل توجه در این زمینه که طی سالیان اخیر به صورت گستردگی مورد استفاده قرار گرفته است مدل درخت تصمیم‌گیری است که پیش‌بینی را در قالب یک سری قوانین تصمیم‌گیری ارائه می‌دهد، در حالی که در روش شبکه عصبی مصنوعی، تنها نتایج پیش‌بینی بیان می‌شود و چگونگی محاسبات آن درون شبکه به صورت جعبه سیاه باقی می‌ماند. همچنین در درخت تصمیم‌گیری برخلاف شبکه‌های عصبی لزومی ندارد داده‌ها به صورت عددی باشند (۳). لویس و همکاران (۱۲) در پژوهشی در کشور اندونزی جهت بررسی فرونشست زمین از روش InSAR<sup>۱</sup> استفاده کردند. طبق نتایج

زمین و سطح آن در معرض انواع مختلف نیروهای داخلی و خارجی قرار دارد، نیروهایی که به وسیله حرکات پیچیده زمین و نیروی گرانش تولید می‌شوند. بیشتر تغییرات فیزیکی سطح زمین نتیجه پدیده‌های طبیعی هستند که برخی از آن‌ها به طور مستقیم یا غیرمستقیم توسط فعالیت‌های انسانی ایجاد می‌شوند (۳۶). مخاطرات طبیعی نظریه زلزله، سیل، رانش و فرونشست زمین همواره تهدیدی برای ساکنین یک سرزمین بوده است. در این میان فرونشست زمین نسبت به سایر خطرات طبیعی و انسانی سابقه کمتری داشته است. فرونشست زمین به فروریزش ناگهانی یا تدریجی روبه‌پایین سطح زمین اطلاق می‌شود که می‌تواند دارای بردار اندازه جابجایی افقی باشد (۳۵). فرونشست زمین اثرات سوء بر زندگی اجتماعی، اقتصادی، ساخت و ساز شهری و محیط زیست دارد (۱۱). عوامل مختلفی در بروز این پدیده نقش دارند که مهم‌ترین آن‌ها شامل سیلاب‌ها، زلزله، فعالیت‌های آتش‌نشانی و برداشت بی‌رویه از سفره‌های آب زیرزمینی می‌باشد (۱۷). در این پژوهش، شهرستان‌های عنبرآباد و جیرفت به عنوان منطقه مورد مطالعه انتخاب شده‌اند. با توجه به افزایش جمعیت و خشکسالی‌های پی‌درپی، سطح آب زیرزمینی در مناطق مذکور با بیلان منفی روبرو بوده است و همین عامل به همراه عوامل دیگر مانند خصوصیات زمین‌شناسی سبب ایجاد حفره‌ها، درز و شکاف‌های متعددی در قسمت‌های مختلف منطقه شده است و با ایجاد خسارات به زمین‌های کشاورزی، ساختمان‌های مسکونی و غیرمسکونی و همچنین قطع خطوط ارتباطی راه‌ها توجه عموم را به خود جلب

استان کرمان یکی از مناطق مهم کشور از نظر کشاورزی است که همواره در بخش‌های مختلف خود مانند رفستان، سیرجان، زرند، جیرفت و عنبرآباد پدیده فرونشست زمین را تجربه کرده است (۲). بنابراین هدف از پژوهش حاضر شبیه‌سازی مکانی فرونشست زمین با، تهیه نقشه و پیش‌بینی خطر فرونشست استفاده از الگوریتم بیشینه آنتروپی در منطقه مورد مطالعه می‌باشد. تحقیقات انجام شده در خارج از کشور و بهویژه در داخل کشور نشان داده که مدل ماکریم آنتروپی در مدل‌سازی فرونشست زمین استفاده نشده و همچنین تاکنون هیچ تحقیق مربوطی با شبیه‌سازی فرونشست زمین در داخل کشور مشاهده نگردیده است.

## مواد و روش‌ها

### منطقه مورد مطالعه

شهرستان‌های عنبرآباد و جیرفت به فاصله‌ی ۲۹ کیلومتری نسبت به هم و بین طول‌های جغرافیایی ۵۷ درجه و ۲۰ دقیقه تا ۵۸ درجه و ۱۷ دقیقه شرقی و عرض‌های جغرافیایی ۲۸ درجه و ۱۱ دقیقه تا ۲۹ درجه شمالی واقع شده‌اند (شکل ۱). منطقه مورد مطالعه از شرق، شمال و شمال شرقی به‌وسیله‌ی کوههای مرتفع جبال‌بارز، از شمال غرب به‌وسیله‌ی کوههای ساردوئیه و از جنوب به تپه‌های بلند محدود و از طریق تنگه بهادرآباد در انتهای جنوبی به دشت روبار متصل می‌شود. وسعت حوزه آبخیز دو منطقه ۴۹۴۳ کیلومتر مربع است که ۱۷۵۹ کیلومتر مربع آن را دشت ۳۱۸۴ و کیلومتر مربع مابقی را مناطق کوهستانی تشکیل می‌دهد. حداقل دمای منطقه مورد مطالعه ۴۵-۵۰ درجه در تابستان و ۲-۵ درجه در زمستان و با متوسط بارندگی ۱۷۰ میلی‌متر در سال می‌باشد و در مجموع دارای ۱۰۷۰۸۵ هکتار اراضی کشاورزی است (۲).

### روش پژوهش

در اولین گام اقدام به مطالعه و بازدیدهای گسترده صحرائی از بخش‌های مختلف منطقه اعم از زمین‌های کشاورزی، نخلستان‌ها، باغات و مناطق مسکونی و سایر نقاط دارای عارضه‌ی فرونشست زمین گردید و با استفاده از سیستم موقعیت‌یابی جهانی (GPS)، ۱۹۴ محل وقوع فرونشست زمین شناسایی شد. نقشه پراکنش فرونشست‌های منطقه مورد مطالعه در نرم‌افزار ArcGIS تهیه گردید. سپس عوامل درصد شیب، شکل شیب، جهت شیب، کلاسه‌های ارتفاعی، سنگ‌شناسی، فاصله از آبراهه، داده‌های پیزومتری، کاربری اراضی، شاخص تفاضلی پوشش گیاهی نرمال شده (NDVI) و شاخص رطوبت توپوگرافی (TWI)<sup>۱</sup> تهیه گردیدند. نقشه‌های عوامل فاصله از روی نقشه‌های پایه توپوگرافی، زمین‌شناسی و تصاویر ماهواره‌ای (لنست ۸ در سال ۲۰۱۶) موجود تهیه شد. در این پژوهش به‌منظور تعیین ارتباط میان طبقات هر عامل در وقوع فرونشست‌ها از مدل نسبت فراوانی و در نهایت به‌منظور تهیه نقشه حساسیت فرونشست زمین از مدل بیشینه آنتروپی استفاده گردید (شکل ۲).

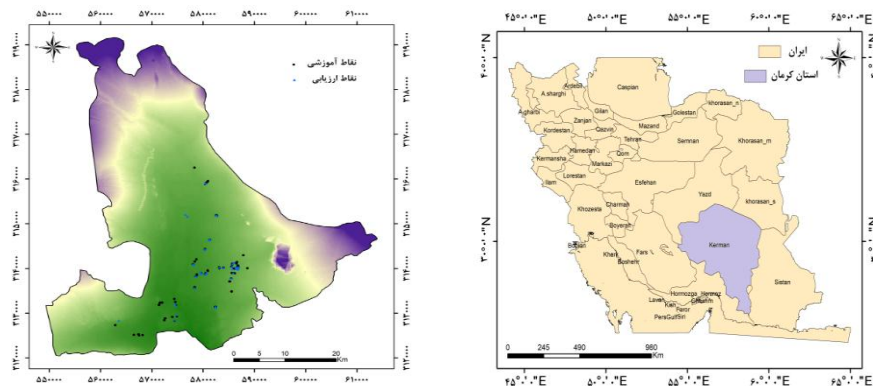
به‌دست آمده، میزان فرونشست سالانه حدود ۸ سانتی‌متر در سال تخمین زده شد و همچنین شدت فرونشست بیش‌تر در مناطق ساحلی و مناطق دشتی رخ داده بود (۱۲). روش دیگر جهت مدل‌سازی فرونشست زمین استفاده از شبکه عصبی مصنوعی یکی از الگوریتم‌های هوش محاسباتی است که جهت بررسی حساسیت فرونشست زمین در اطراف معادن زغال‌سنگ در کشور کره جنوبی توسط لی و همکاران (۱۰) استفاده گردید. عوامل موثر به کار برد شده در این پژوهش عبارت از عمق معادن زغال‌سنگ، عمق آب‌های زیرزمینی، فاصله از چاله، جنس توده سنگ، فاصله از گسل، زمین‌شناسی و کاربری اراضی است. نتایج نشان داد نقشه تهیه شده دارای دقیقی در حدود ۹۵/۹۸ درصد بوده است، ضمن آن که فاصله از گسل، به عنوان موثرترین عامل در تحقیق مذکور شناسایی گردید. به کارگیری تکنیک‌های سنجش از دور و اطلاعات ماهواره‌ای یکی دیگر از روش‌های نوین در پایش پدیده فرونشست زمین است و تداخل‌سنگی تفاضلی را در (D-InSAR)<sup>۲</sup> تاکنون یکی از کم‌هزینه‌ترین و دقیق‌ترین روش‌های سنجش از دور برای شناسایی و نمایش جابجایی‌های بوجود آمده در سطح زمین می‌باشد (۳۲). همچنین استفاده از شبکه های عصبی مصنوعی است که از سه لایه‌ی ورودی، خروجی و پردازش تشکیل شده است (۴۱). در پژوهشی دیگر، به‌منظور بررسی فرونشست زمین در کشور چین، لی و همکاران (۱۱) روش ماشین بردار پشتیبانی با ۴ تابع کرنل متفاوت را مورد استفاده و ارزیابی قرار دادند. نتایج حاصل از مقایسه میان الگوریتم ماشین بردار پشتیبان با توابع کرنل مختلف و روش‌های تک‌متغیره و چندمتغیره آماری، نشان‌دهنده‌ی دقت بالاتر مدل ماشین بردار پشتیبان بود.

اوزدمیر (۱۶) به‌منظور ارزیابی پراکنش فرونشست زمین در ترکیه روش وزنی و GIS<sup>۳</sup> را مورد استفاده قرار داد. در پژوهش ایشان، ارتباط عوامل زمین‌شناسی، توپوگرافی، هیدرولوژی و کاربری اراضی با فرونشست‌های ایجادشده، بررسی گردید. نتایج نشان داد میزان فرونشست‌ها در نواحی با ضخامت کمتر از ۵۰ متر، دوره‌ی زمین‌شناسی نوئن با سازند Insuya شامل خاک‌های آهکی و رسی-آهکی، فاصله‌ی ۲۰۰۰-۳۰۰۰ متر از آبراهه و فاصله‌ی کمتر از ۱۰۰۰ متر از گسل ارتباط مستقیم داشت. بنابراین طبق نتایج به‌دست آمده با شناسایی عوامل مذکور و کنترل آن‌ها، می‌توان میزان خطرات ناشی از فرونشست زمین را کاهش داد. برای تعیین میزان ارتباط و تاثیرگذاری فرونشست زمین در وقوع سیل، مدل‌های هیدرولویک در مناطق شهری شانگ‌های (چین) توسعه بین و همکاران (۴۰) به کار برد شد. نتایج نشان داد فرونشست زمین می‌تواند به‌طور غیرمستقیم تحت تاثیر ویژگی‌های سیل قرار گیرد.

به‌طور کلی قرارگرفتن دوسوم از سطح کشور در رده اقلیم گرم و خشک، خشک‌سالی‌های اخیر و کاهش نزولات جوی و بدترین آن افزایش بهره‌برداری از سطح آبخوان‌ها بهویژه در بخش کشاورزی، زیرساخت مناسبی را برای بروز پدیده نشست زمین فراهم آورده است.

1- Differential Interferometric Synthetic Aperture Radar (D-InSAR)  
2- Geographic Information System (GIS)  
3- Global Positioning System (GPS)

4- Normalized Difference Vegetation Index (NDVI)  
5- Topographic Wetness Index (TWI)



شکل ۱- موقعیت منطقه مورد مطالعه در استان کرمان و ایران  
Figure 1. Location of the study area in Kerman province and Iran



شکل ۲- نمودار جریانی مراحل تعهیه نقشه حساسیت فرونشست زمین  
Figure 2. Flowchart of land-subsidence susceptibility mapping steps

مستقیمی روی حفاظت خاک و متعاقباً کاهش فرونشست زمین داشته باشد (۲۵). نقشه جهت شب در ۸ طبقه شمال (-۰، ۲۲/۵° و ۲۳۷/۵° - ۳۶۰°)، شمال شرقی (۲۲/۵°، ۴۷/۵°)، جنوب (۶۷/۵° - ۱۱۲/۵°)، جنوب شرقی (۱۱۲/۵° - ۱۵۷/۵°)، جنوب (۱۵۷/۵° - ۲۰۲/۵°) جنوب غربی (۲۰۲/۵° - ۲۴۷/۵°)، غرب (۲۴۷/۵° - ۲۹۲/۵°) و شمال غربی (۲۹۲/۵° - ۳۳۷/۵°) و

عوامل موثر بر وقوع فرونشست زمین در منطقه مورد مطالعه تعیین شدند. نقشه درصد شب در ۱۵ طبقه کمتر از ۲، ۲-۸، ۸-۱۵ و بیشتر از ۱۵ درصد با استفاده از روش شکستگی های طبیعی (Natural Breaks) طبقه بندی گردید. جهت شب تاثیر به سزایی روی فرونشست زمین داشته، به طوری که با حفظ رطوبت و مقدار پوشش گیاهی می تواند اثر

که در آن: باند ۴ مادون قرمز و باند ۵ مادون قرمز نزدیک است.

### مدل نسبت فراوانی (FR)

نسبت فراوانی، ارتباط کمی میان فرونشست زمین و متغیرهای مختلف تأثیرگذار در آن را مشخص می‌نماید. در تعیین نرخ نسبت فراوانی، نسبت فرونشست زمین در هر کلاس از فاکتورهای تأثیرگذار نسبت به کل فرونشست‌ها به دست می‌آید و نسبت سطح هر کلاس نسبت به کل مساحت منطقه نیز محاسبه می‌شود. در نهایت، با تقسیم نرخ رخداد فرونشست‌ها در هر کلاس بر نرخ مساحت هر کلاس نسبت به کل منطقه مورد مطالعه، نسبت فراوانی کلاس‌های هر فاکتور محاسبه می‌شود. مراحل محاسبه نسبت فراوانی برای هر کلاس از فاکتورهای مؤثر در فرونشست از رابطه ۳ به دست می‌آید (۳۳).

$$FR = \frac{\frac{A}{B}}{\frac{C}{D}} = \frac{E}{F} \quad (رابطه ۳)$$

که در آن: A (تعداد فرونشست در هر طبقه)، B (تعداد کل فرونشست‌ها در منطقه مورد مطالعه)، C (تعداد پیکسل‌های کلاس موردنظر)، D (تعداد کل پیکسل‌های منطقه مورد مطالعه)، E (درصد رخداد فرونشست در کلاس موردنظر) و F (درصد نسبی مساحت کلاس موردنظر) می‌باشد.

### مدل بیشینه آنتروپی (ME)

پهنگ‌بندی خطر بلایی طبیعی و انسانی به روشن‌های گوناگونی صورت می‌گیرد، از جمله آن مدل بیشینه آنتروپی است که برای نخستین بار توسط ویلسون در سال ۱۹۷۰-۱۹۷۶ ارائه گردید و سپس این مدل توسط سینور در سال ۱۹۷۹ مورد تجدیدنظر و اصلاح قرار گرفت (۲۳). روش آنتروپی که در ایران و جهان در موضوعات مختلف علوم ریاضی، اقتصاد و کامپیوتر استفاده شده است در علم ژئومورفولوژی تاکنون کمتر مورد استفاده قرار گرفته است (۱۵). آنتروپی یک مفهوم اساسی در علوم فیزیک، علوم اجتماعی و تئوری اطلاعات است، به گونه‌ای که نشان‌دهنده‌ی مقدار عدم اطمینان درجه توزیع نامتعادل پدیده‌های موجود از محتوای مورد انتظار اطلاعاتی می‌باشد (۱۴). آنتروپی مقدار بی‌نظمی در یک سیستم را (کیفیت) اندازه‌گیری می‌کند (۱۳). مدل آنتروپی براساس روش بیشینه‌سازی کلاسیک برای استخراج تابع توزیع احتمال پایه‌گذاری شده است. اطلاعات مورد نیاز برای به دست آوردن یکتابع توزیع عمدتاً در دوره‌هایی از محدودیت‌ها بر اساس داده‌های موجود، تجربه، روابط کارکردی یا از هر منبع دیگری به دست می‌آیند و هنگامی که محدودیت‌ها مشخص باشند توزیع به طور منحصر به فرد تعیین می‌شود، به عبارت دیگر برای یک مجموعه از محدودیت‌ها می‌تواند یک توزیع منحصر به فرد وجود داشته باشد (۱). نقشه پهنگ‌بندی حساسیت فرونشست زمین برای منطقه مورد مطالعه با استفاده از مدل بیشینه آنتروپی از رابطه ۴ محاسبه می‌شود (۴۲).

$$E_j = -k \sum_{i=1}^m p_{i,j} \ln p_{i,j} \quad (رابطه ۴)$$

که در آن:  $H_i$  ضریب رخداد فرونشست،  $W_j$  وزن نهایی تمام عوامل و  $r_{i,j}$  وزن هر یک از طبقه‌های هر عامل می‌باشد.

یک طبقه هموار (۱) طبقه‌بندی گردید. نقشه طبقات ارتفاعی منطقه مورد مطالعه با استفاده از روش شکستگی‌های طبیعی (Natural Breaks) در ۵ طبقه کمتر از  $0.4/6$  و  $6.92/15$ ،  $6.92/15$  و  $6.92/19$ ،  $6.92/19$  و  $9.23/51$  بیشتر از  $9.23/51$  متر طبقه‌بندی گردید. انحنای نیمرخ، یک ویژگی ثانویه ژئومورفولوژی بوده که جهت افزایش یا کاهش، میزان رسوب (عدد مثبت) و میزان فرسایش (عدد منفی) می‌باشد (۳۷). نقشه انحنای نیمرخ در سه طبقه کمتر از  $-0.01$  (محدب)،  $0.01$  (آب) و  $0.01$  (هموار) و بزرگ‌تر از  $0.01$  (مقعر) طبقه‌بندی گردید. تاثیر انحنای سطح روی فرآیندهای فرسایشی شبیه، همگرایی یا واگرایی جریان آب موثر است (۲۴، ۲۲). بنابراین نقشه مذکور در سه طبقه کمتر از  $-0.01$  (مقعر)،  $0.01$  (آب) و  $0.01$  (هموار) طبقه‌بندی گردید. شاخص رطوبت توپوگرافی (TWI) یکی از متغیرهای ثانویه توپوگرافی است که درجه تجمع آب را در یک مکان خاص، مشخص می‌کند (۱۸). نقشه TWI منطقه مورد مطالعه در سه کلاس کمتر از  $2$ ،  $2-8$  و بیشتر از  $8$  طبقه‌بندی گردید. شاخص رطوبت توپوگرافی از رابطه‌ی ۱ به دست می‌آید (۲۶):

$$TWI = \ln \frac{\alpha}{\tan \beta} \quad (۱)$$

$\alpha$  مساحت منطقه و  $\tan \beta$  زاویه شبیه منطقه به درجه می‌باشد

نقشه فاصله از آبراهه در ۵ طبقه با فواصل  $0-100$ ،  $100-200$ ،  $200-300$ ،  $300-400$  و بیشتر از  $400$  متر طبقه‌بندی گردید. به منظور بررسی زمین‌شناسی منطقه مورد مطالعه و اثرات واحدهای سنجش‌نامه از پدیده فرونشست زمین، نقشه زمین‌شناسی منطقه جیرفت و عنبرآباد (شیت‌های حنا، محمدآباد و سبزواران) در مقیاس  $1:100000$  از سازمان زمین‌شناسی کشور تهیه گردید.

بهره‌برداری از آب‌های زیرزمینی به منظور آبیاری مزارع و باغات منجر به کاهش تراز آب شده که نقش بهسازی در تسریع تشکیل فروچاله‌ها دارد (۳۴). آمار  $15$  ساله چاههای پیزومتری منطقه مورد مطالعه بین سال‌های  $1380-1395$  از سازمان آب منطقه‌ای جنوب کرمان تهیه و سپس تجزیه و تحلیل‌های لازم روی داده‌های مذکور اعمال و نقشه تراز سفره آب زیرزمینی با استفاده از روش میان‌بابی وزن فاصله معکوس (IDW)<sup>۱</sup> تهیه گردید (۷).

به طور کلی، تعداد و اندازه فروچاله‌ها، کاربری اراضی منطقه را تحت تاثیر قرار می‌دهد (۱۶). نقشه کاربری اراضی منطقه مورد مطالعه از دفتر طرح و برنامه‌ریزی استانداری کرمان برای سال  $1395$  آماده شد. نقشه شاخص تفاضلی پوشش گیاهی نرم‌مال شده (NDVI) منطقه مورد مطالعه با استفاده از تصاویر ماهواره‌ای لنdest  $8$  و توسط رابطه  $2$  تهیه و در  $5$  طبقه کوچک‌تر یا مساوی صفر (آب، برف و یخ)،  $0-0.5$  (خاک لخت)،  $1-0.5$  (پوشش گیاهی تنک)،  $0.5-0.1$  (پوشش گیاهی مترکم) و بیشتر از  $0.5$  (پوشش جنگلی) طبقه‌بندی شد (۲۰).

$$NDVI = (\text{Band}5 - \text{Band}4) / (\text{Band}5 + \text{Band}4) \quad (رابطه ۲)$$

## نتایج و بحث

در پژوهش حاضر به منظور ارتباط بین نقاط فرونگشت زمین در منطقه مورد مطالعه با کلاس هریک از عوامل موثر بر وقوع فرونگشت از مدل نسبت فراوانی استفاده شد (جدول ۱).

نتایج بررسی عامل شیب نشان داد که بیشتر فرونگشت‌های منطقه در کلاس شیب کمتر از ۲ درصد (طبقه اول) رخ داده است که با نظرات (۳۹، ۳۸، ۲۵) مطابقت دارد. شایان ذکر است با افزایش درصد شیب منطقه مورد مطالعه، تعداد فرونگشت زمین کاهش می‌یابد. بنابراین فاکتور درصد شیب ارتباط معکوس با تشکیل فروچاله‌ها داشته و نشست زمین بیشتر در شیب‌های ملایم و کم رخ می‌دهد (۳۸). نتایج بررسی جهت شیب نشان می‌دهد که بیشتر فرونگشت‌های اتفاق افتاده در جهت‌های شمال‌غرب و غرب می‌باشد. جهت دامنه از نظر جذب نور آفتاب عامل اصلی در میزان رطوبت، تحول خاک و استقرار پوشش گیاهی است و بهطور کلی دامنه‌های رو به شمال نسبت به دامنه‌های جنوبی از رطوبت بیشتری برخوردار هستند (۵).

## اعتبارسنجی مدل

ارزیابی صحت نقشه‌های خطر و حساسیت فرونگشت زمین با استفاده از نقشه‌ی پراکنش فرونگشت‌ها امکان‌پذیر نیست، لذا برای حل این مشکل دو سوم نقاط فرونگشتی برای شبیه‌سازی و یک سوم باقی‌مانده جهت ارزیابی صحت مدل‌ها استفاده می‌شود (۹). بنابراین با استفاده از نرم‌افزار ModEco<sup>۱</sup> و ۷۰ درصد نقاط فرونگشتی ( نقطه)، نقشه‌ی پهن‌بندی حساسیت فرونگشت زمین برای مدل پیشینه آنتروپی تهیه گردید. هم‌چنین جهت ایجاد منحنی ROC<sup>۲</sup> از ۳۰ درصد نقاط فرونگشتی (۵۸ نقطه) و نرم‌افزار SPSS<sup>۳</sup> استفاده شد. نهایتاً با استفاده از منحنی ROC و تخمین سطح زیرمنحنی (AUC)<sup>۴</sup> که روش مفیدی جهت پیش‌بینی سیستم‌هاست، میزان صحت مدل به صورت کمی برآورد گردید. مقادیر سطح زیرمنحنی (۱/۵-۰/۰)، پیش‌بینی مدل‌ها را در تخمین وقوع یا عدم وقوع رخداد فرونگشت ارزیابی می‌کند، به طوری که هرچه سطح زیر منحنی به عدد ۱ نزدیک‌تر باشد مدل ایده‌آل‌تر است و عدم صحت پیش‌بینی برای مدل زمانی است که این مقدار ۰/۵ باشد (۲۳).

جدول ۱- نسبت فراوانی عوامل موثر بر وقوع فرونشست زمین در شهرستان‌های عنبرآباد و جیرفت

Table 1. Frequency ratio of effective factors on land-subsidence occurrence

| عامل                           | طبقه   | تعداد پیکسل  | تعداد فرونشست                        | نسبت فراوانی                             |
|--------------------------------|--|--|--------------------------------------|--|
| درصد شیب                       | ۲>   | ۱۴۱۳۷۷۹  | ۱۳۰                                  | ۰/۶                                      |
|                                | ۲-۸  | ۵۹۲۷۹۶۹  | ۶                                    | ۰/۶۷                                     |
|                                | ۸-۱۵   | ۴۵۰۷۹۹   | .                                    | ۱/۶۰                                     |
|                                | ۱۵<  | ۴۰۱۷۷۷   | .                                    | ۱/۴۰                                     |
| جهت شیب                        | هموار  | ۱۵۹۳۴۴۷  | ۶                                    | -/۵۸                                     |
|                                | شمال   | ۷۵۷۱۱۰   | ۶                                    | ۱/۲۲                                     |
|                                | شمال‌شرق   | ۱۰۰۶۳۲۷  | ۳                                    | ۰/۴۶                                     |
|                                | شرق  | ۲۶۸۶۰۳۷  | ۱۰                                   | -/۵۷                                     |
|                                | جنوب‌شرق   | ۳۶۶۳۷۸۳  | ۲                                    | -/۰۸                                     |
|                                | جنوب   | ۲۳۷۹۰۰   | ۱                                    | -/۰۵                                     |
|                                | جنوب‌غرب   | ۴۱۷۱۷۵۴  | ۲۷                                   | ۱  |
|                                | غرب  | ۳۱۴۵۳۰۱  | ۶۲                                   | ۳/۰۳                                     |
|                                | شمال‌غرب   | ۹۱۸۷۷۵   | ۱۹                                   | ۳/۱۸                                     |
| ارتفاع (متر)                   | ۶-۴۶>  | ۶۹۹۷۶۹۶  | ۱۲۹                                  | ۲/۰۱                                     |
|                                | ۶۰۴۶-۶۹۲۱۵   | ۶۵۲۷۸۵   | ۷                                    | -/۱۶                                     |
|                                | ۶۹۲۱۵-۷۹۲۱۹  | ۴۴۹۰۳۵۲  | .                                    | .  |
|                                | ۷۹۲۱۹-۹۳۵۱   | ۲۸۸۶۱۶   | .                                    | .  |
|                                | ۹۳۳۵۱<   | ۹۱۶۳۲۱   | .                                    | .  |
| انحنای نیم‌رخ                  | ۱۷۴۹۴۸۵  | -۰/۰۱>   | ۶                                    | -/۵۳                                     |
|                                | ۱۷۳۸۵۶۶  | -۰/۰۱-۰/۰۱   | ۱۲۵                                  | ۱/۱۱                                     |
|                                | ۱۷۸۵۳۳   | -۰/۰۱<   | ۵                                    | -/۴۳                                     |
|                                | ۱۹۷۴۹۸۱۶   | -۰/۰۱>   | ۶                                    | -/۴۷                                     |
|                                | ۱۶۹۰۸۲۳۱   | -۰/۰۱-۰/۰۱   | ۱۲۴                                  | ۱/۱۳                                     |
|                                | ۲۳۷۷۰۲   | -۰/۰۱<   | ۶                                    | -/۴۵                                     |
| انحنای سطح                     | ۲>   | ۵۲۱۴۷۴۶  | ۲۰                                   | -/۵۹                                     |
|                                | ۲-۸  | ۱۲۱۸۰۱۸۱   | ۶۴                                   | -/۸۱                                     |
|                                | ۸-۱۲   | ۳۵۲۵۵۸۸  | ۵۲                                   | ۲/۲۷                                     |
| شاخص رطوبت توپوگرافی           | ۲۲۳۹۹۶   | .  | .                                    | .  |
| زمین‌شناسی                     | Qz2, QLc, Qfp, Qal, Qt1, Qc<br>Ef, QLm, JK, Ewf<br>Erh, Eqt<br>Da, Pzla1<br>OMm, DCsg, OM1<br>G, gh, gd, gb<br>Ng2, Et1, Ev, Ngb, Es | ۱۹۸۷۸۱۱<br>۴۵۵۷۸۴<br>۷۲۶۰<br>۱۷۱<br>۳۳۱۹۰۱<br>۴۵۹۳ | ۱۳۱<br>۵<br>. .<br>. .<br>. .<br>. . | ۱/۰۱<br>۱/۶۹<br>. .<br>. .<br>. .<br>. . |
| فاصله از آبراهه (متر)          | ۰-۱۰۰  | ۶۶۶۷۸۷۴  | ۴۶                                   | ۱/۰۶                                     |
|                                | ۱۰۰-۲۰۰  | ۴۸۲۵۷۷۹  | ۲۱                                   | -/۶۷                                     |
|                                | ۲۰۰-۳۰۰  | ۳۳۵۶۴۵۰  | ۳۵                                   | ۱/۶۰                                     |
|                                | ۳۰۰-۴۰۰  | ۲۱۹۹۷۴   | ۲۰                                   | ۱/۴۰                                     |
|                                | ۴۰۰<   | ۲۸۷۷۷۵۹  | ۱۴                                   | ۰/۶۵                                     |
| تغییرات تراز آب زیرزمینی (متر) | ۰-۱۳/۰۸<br>۱۳/۰۸-۱۹/۶۲<br>۱۹/۶۲-۲۴/۴۳<br>۲۸/۴۳-۶۴/۴  | ۲۵۹۷۸۸۶<br>۹۸۸۷۲۰۲<br>۶۹۴۵۵۶<br>۱۴۹۳۳۶۲            | ۱۱<br>۸۳<br>۴۱<br>۱                  | ۱/۲۹<br>۰/۹۱<br>۰/۱۰                     |
| عامل                           | طبقه   | تعداد پیکسل  | تعداد فرونشست                        | نسبت فراوانی                             |
| درختچه‌زار و بیشه‌زار (SH)     | (R)  | ۱۵۵۲۹۷   | ۱۵                                   | ۱۴/۸۶                                    |
| مراتع (BL)                     | (RB)   | ۹۵۵۴۹۱   | ۲۲                                   | ۰/۵۲                                     |
| اراضی بدون پوشش گیاهی (IF)     | (IF)   | ۹۵۵۶۹۱   | .                                    | .  |
| بسنر رودخانه (TK)              | (TK)   | ۱۸۵۷۴۵۷  | .                                    | .  |
| زراعات آبی و باغات (Urba)      | (Urba)   | ۶۶۵۴۴۶   | ۶۳                                   | ۱/۴۶                                     |
| مناطق مسکونی (SS)              | (SS)   | ۳۳۸۹۹۷   | ۱۵                                   | ۶/۸۱                                     |
| پهنه‌های ماسه‌ای (SL)          | (SL)   | ۵۶۱۱۵۰   | ۵                                    | ۱/۱۶                                     |
| کاربری اراضی (NDVI)            | (TK)   | ۱۷۳۹۶۹   | ۶                                    | ۵/۳۱                                     |
|                                | (SL)   | ۵۸۶۴۷  | .                                    | .  |
|                                | >  | ۸۷۱۲   | .                                    | .  |
|                                | -۰/۰۵  | ۶۸۴۹۹۷۹  | .                                    | .  |
|                                | ۰/۰۵-۰/۱   | ۸۸۸۷۳۹۶  | ۹۰                                   | ۱/۵۶                                     |
|                                | ۰/۱-۰/۰۵   | ۵۱۷۷۵۵۷  | ۴۶                                   | ۱/۷۲                                     |
|                                | /۵<  | ۱۳۶۶   | .                                    | .  |

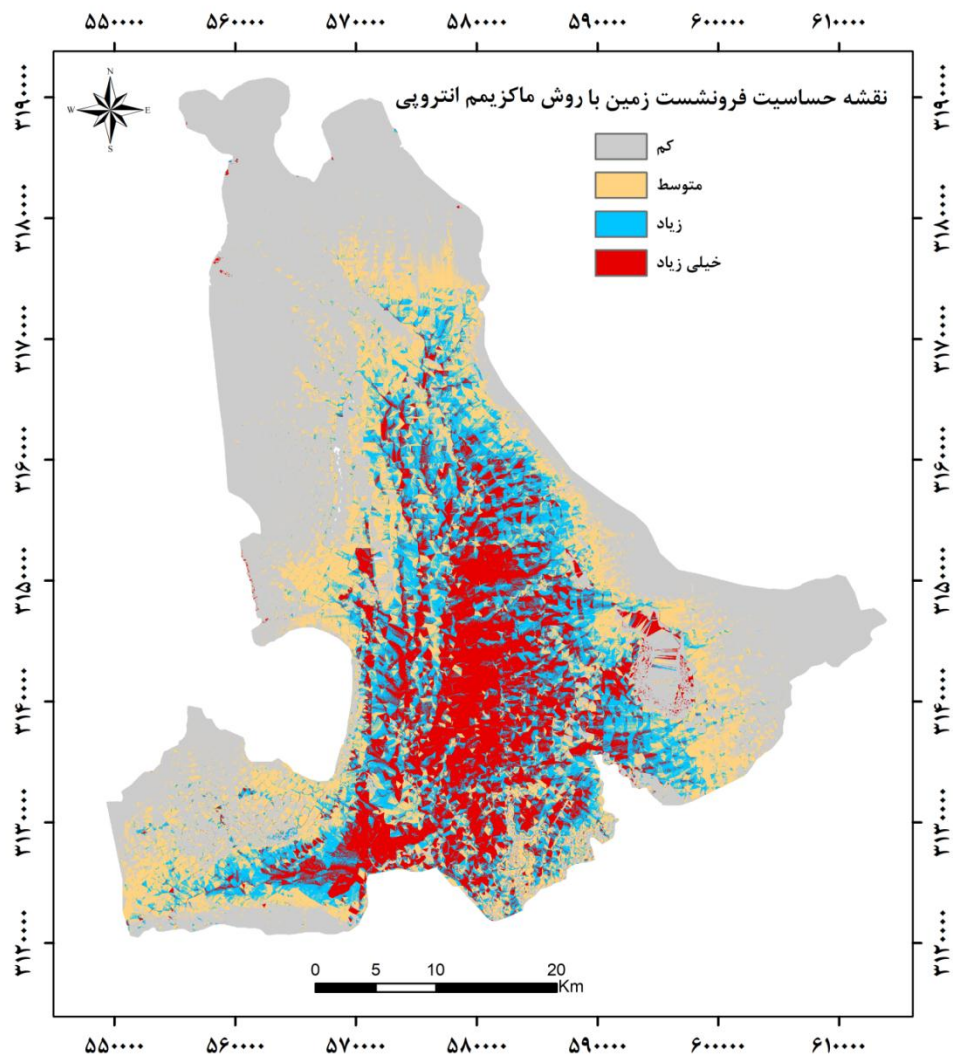
فرونشست زمین مانند واحدهای سنگ‌شناسی منطقه که توانایی ناچیزی در میزان نفوذ آب دارد ذکر نمود. بررسی نتایج طبقات ارتفاعی نشان می‌دهد که کلاس ارتفاعی کمتر از ۶۰۴۶-۶۹۲۱۵ بهترتبی ۹۵ و ۵ درصد از فرونشستها را به خود اختصاص داده و دارای بیشترین وزن می‌باشد که با افزایش ارتفاع، میزان فرونشست زمین کاهش

لذا این انتظار می‌رود که میزان پوشش گیاهی و نفوذ آب در این بخش‌ها بیشتر و فرونشست زمین نسبت به سایر بخش‌ها کمتر باشد، اما در واقعیت خلاف آن چه که تصویر می‌شود در جهت‌های شمال‌غرب و غرب مطالعه شاهد هستیم که وقوع فرونشست را در منطقه موردنظر مطالعه شاهد هستیم که می‌توان دلیل آن را فعل بودن دیگر عوامل موثر بر وقوع

سایر فواصل دور و نزدیک است که دلیل آن انجام فعالیت‌های کشاورزی و عملیات ساخت و ساز انسانی در این بخش‌ها می‌باشد. بررسی عامل انحنای سطح و انحنای نیمروخ نشان می‌دهد که در بین سه کلاس مقعر، هموار و محدب بیشترین میزان فرونشست زمین در کلاس هموار (Flat) رخ داده است. به طور کلی هر چهار منطقه هموارتر و دارای شبی کمتر باشد انتظار وقوع این پدیده (فرونشست) بیشتر خواهد بود. به طور کلی نتایج انحنای سطح و نیمروخ هم راستا با نتایج بدست آمده از تحلیل درصد شبی منطقه و میزان تاثیر آن بر وقوع پدیده فرونشست بوده است. بررسی نتایج عامل TWI حاکی از آن است که به طور منظم با افزایش مقدار TWI، فرونشست زمین نیز افزایش یافته است که با نتایج مطالعات انجام‌شده توسط (۲۴، ۳۸) مبنی بر این که تشکیل فروچاله‌ها با افزایش شاخص رطوبت توپوگرافی به طور کلی افزایش می‌یابد کاملاً مطابقت دارد. علاوه‌بر آن با افزایش TWI، میزان رواناب نیز افزایش یافته (۱۶) در نتیجه میزان نفوذپذیری خاک کاهش یافته، بنابراین پدیده فرونشست زمین افزایش می‌یابد. بررسی نتایج چاهه‌ای بیزومتری نشان داد که تقریباً با افزایش افت سطح آب زیرزمینی، فرونشست زمین نیز افزایش می‌یابد که با مطالعات انجام‌شده توسط (۳۱، ۲۸) مطابقت دارد. اما با یک استثنای میان دو کلاس اول (۰-۱۳/۰۸) و دوم (۱۳/۰۸-۱۹/۰۶) برخلاف آن چه که انتظار می‌رود با افزایش سطح آبخوان فرونشست زمین افزایش یافته است که دلیل این امر را می‌توان فعال بودن سایر عوامل موثر بر فرونشست زمین در این بخش‌ها دانست. نتایج حاصل از NDVI نشان می‌دهد که با افزایش پوشش گیاهی، میزان فرونشست زمین کاهش می‌یابد که با مطالعات (۲۵، ۳۸) و همچنین دیدگاه (Yilmaz، ۲۰۱۳) مبنی بر این که ارتباط معکوس میان افزایش و تراکم بالای پوشش گیاهی با فرونشست زمین وجود دارد و افزایش پوشش گیاهی باعث کاهش جریان آب و افزایش نفوذ گردیده، کاملاً مطابقت دارد (۳۹).

همچنین نتایج حاصل از مدل بیشینه آنتروپی در شکل ۳ و جدول ۲ ارائه شده است. به‌منظور طبقه‌بندی نقشه حساسیت فرونشست زمین در منطقه مورد مطالعه از روش شکستگی‌های طبیعی استفاده گردید (۱۹) و نقشه نهایی به چهار طبقه حساسیت کم، متوسط، زیاد و خیلی زیاد تقسیم گردید.

پیدا کرده است. بنابراین نتایج به دست آمده با تحقیقات (۱۶، ۲۵) کاملاً مطابقت دارد. بررسی واحدهای سنگ‌شناسی منطقه مورد مطالعه نشان داد که بیشترین فرونشست زمین به ترتیب در سازندهای (Erh: گنبدهای ریوداسیتی و ریولیتی و EQt: توف سبز تیره) و (Ef: رسوبات از نوع فلیش، توالی منظمی از ماسه سنگ، شیل، کنگلوماری ریزدانه، ماسه سنگ آهکی نومولیت کوئیزین دار، سنگ آهک ماسه‌ای نومولیتی، مخلوط با پومیس‌های ریزدانه شیشه‌ای آواری، توف سبز، QLm: رسوبات سایز رس و سیلت (هر دو نهشته‌های رودخانه‌ای و بارانی)، JK: عمدتاً از سنگ آهک کالپیون‌لدار ریزیزیستی، خاکستری روشن، خوب لایه‌بندی شده، نازک در آبهای عمیق، به طور جزئی حاوی سنگ آهک مارنی، شیل و ماسه سنگ آهکی Ewf: فیلیش‌های طوفانی آلوسن) رخ داده است که دلیل این امر در سازندهای نوع اول (Ef, QLm, JK, Ewf) وجود ترکیبات آهکی با مقاومت کم و همچنین رسوبات ریزدانه با نفوذپذیری پایین مانند سیلت و رس می‌باشد. به طور کلی فرونشست زمین در سازندهای آهکی به‌دلیل داشتن تخلخل بالا پس از افت آب زیرزمینی رخ می‌دهد (۱۶). همچنین دلیل فرونشست زمین در سازندهای نوع دوم (Erh, EQt) وجود سنگ‌های آذرین است که این سنگ‌ها تشکیلاتی غیرقابل نفوذ بوده و از لحاظ تغذیه و ذخیره آبهای زیرزمینی تأثیر چندانی ندارند (۲). بررسی اتفاقاً کاربری اراضی نشان داد که بیشتر فرونشست‌های اتفاق افتاده به‌ترتیب در سه کاربری بیشه‌زار و درختچه‌زار، مناطق مسکونی و دق‌های رسی رخ داده است. در مورد کاربری بیشه‌زار و درختچه‌زار علی‌رغم وجود پوشش گیاهی علت این پدیده را می‌توان افت شدید آب زیرزمینی در این نمونه کاربری ذکر نمود. در کاربری مناطق مسکونی فشرده‌گی و نشست زمین به‌علت تحمیل بارهای سنگین (سدها و ساختمان‌ها یا ساخت و سازها) روی می‌دهد که با نتایج بدست آمده توسط (۳۰) مطالعه مطابقت دارد. همچنین پدیده فرونشست زمین در دق‌های رسی را سخت و غیرقابل نفوذبودن این نوع کاربری و جلوگیری از تغذیه آبخوان‌ها می‌توان ذکر نمود. بررسی عامل فاصله از رودخانه نشان می‌دهد که بیشترین فرونشست‌های منطقه در فاصله ۳۰۰-۲۰۰ متری یعنی در طبقه متوسط فاصله از آبراهه اتفاق افتاده است که با نتایج مطالعات (۱۶، ۲۵، ۳۸) مطالعه دارد. شدت فرونشست زمین در فواصل متوسط از رودخانه بیشتر از



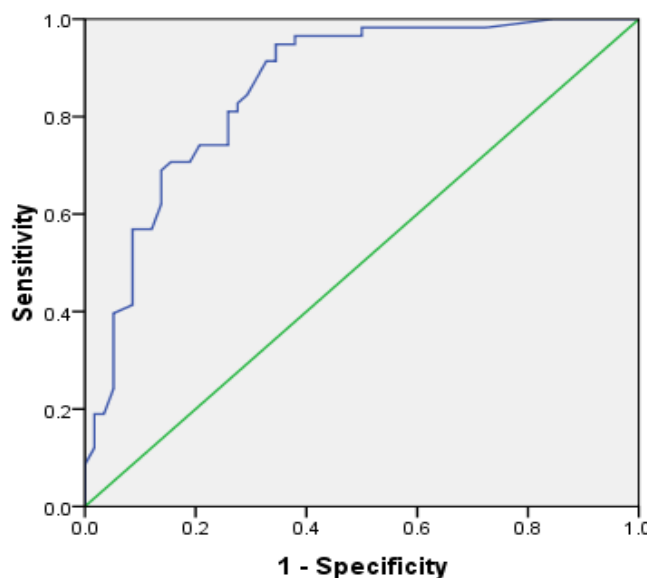
شکل ۳- نقشه حساسیت فرونشست زمین با استفاده از مدل بیشینه آنتروپی  
Figure 3. Land-subsidence susceptibility mapping using maximum entropy model

جدول ۲- طبقات حساسیت فرونشست زمین با استفاده از روش بیشینه آنتروپی  
Table 2. Classes of land-subsidence susceptibility using maximum entropy method

| درصد پیکسل (مساحت) | تعداد پیکسل | طبقه      | گروه |
|--------------------|-------------|-----------|------|
| ۴۴/۰۳              | ۲۳۰۱۷۵۱     | کم        | ۱    |
| ۲۱/۶۶              | ۱۱۳۲۳۶۲     | متوفط     | ۲    |
| ۱۸/۰۳              | ۹۴۴۴۶۱      | زياد      | ۳    |
| ۱۶/۲۸              | ۸۵۰۷۸۰      | خيلي زياد | ۴    |

مختلف صحت (عالی ( $1 - 0/9$ ), خيلي خوب ( $0/9 - 0/8$ ), متوسط ( $0/8 - 0/7$ ), ضعيف ( $0/7 - 0/6$ ) در طبقه‌ی خيلي خوب قرار می‌گيرد.

نتایج ارزیابی نقشه حساسیت فرونشست زمین در شکل ۴ و جدول ۳ ارائه شده است. نتایج حاصل از ارزیابی مدل بیشینه آنتروپی با استفاده از نمودار ROC در جدول ۲ میزان صحت مدل را  $0/859$  نشان داد. بنابراین این مدل از بین طبقات



شکل ۴- نمودار ROC مدل بیشینه آتروپی  
Figure 4. Reciever operating characteristics curve of maximum entropy model

جدول ۳- صحت مدل بیشینه آتروپی در برآورد خطر فرونشست زمین

Table 3. Validity of maximum entropy model in assesment land subsidence

| مدل           | مساحت | خطای استاندارد | سطح معنی داری | اطمینان همستانگی %۹۵ | حد بالا | حد پایین |
|---------------|-------|----------------|---------------|----------------------|---------|----------|
| بیشینه آتروپی | ۰/۸۵۹ | ۰/۰۳۵          | ۰/۰۰۰         | ۰/۹۲۷                | ۰/۷۹۰   |          |

دقت مطلوب این مدل باعث گسترش و استفاده از آن در علوم مختلف از قبیل سیل آبیز (۸)، فرسایش خندقی (۲۲) و مدل سازی رواناب (۱) شده است. بنابراین با توجه به آسیب‌های حاصل از پدیده‌ی فرونشست زمین از ابعاد گوناگون انسانی، اقتصادی و زیست محیطی که برای یک منطقه ایجاد می‌شود استفاده از تکنیک‌های داده‌کاوی مفید جهت مدل سازی این عارضه‌ی مخرب کمک شایانی در جهت پیش‌گیری از خطرات فرونشست زمین محسوب می‌شود. بنابراین نتایج شبیه‌سازی مکانی فرونشست‌ها و نقشه‌ی حساسیت تهیه شده و همچنین عامل برداشت بی‌رویه از سفره‌های آب زیرزمینی بر اساس اطلاعات چاههای پیزومتری می‌تواند نقش مهمی در برنامه‌ریزی‌های آمایش سرزمین و مدیریت منابع آب زیرزمینی در منطقه مورد مطالعه داشته باشد و این نتیجه نیز بر اساس مدل بیشینه آتروپی در تعیین مهم‌ترین عامل موثر نیز تایید گردید.

مدل بیشینه آتروپی مدلی عمومی است که امکان بررسی روابط میان یک متغیر وابسته و چندمتغیر مستقل را در زمینه‌های مطالعاتی مختلف به کاربران می‌دهد (۲۷). آتروپی یک مدل غیرخطی است و از نظر انتخاب فاکتورها، محدودیتی ندارد لذا می‌توان بیشترین انتخاب فاکتور را داشت. آتروپی مدلی ناپارامتریک است و در مورد توزیع متغیرها نیازی به پیش‌فرض ندارد (۲۱). استفاده از این مدل در تهیه نقشه حساسیت زمین‌لغزش نتایج و عملکرد قابل قبولی داشته است (۴). همچنین مقایسه میان مدل بیشینه آتروپی و مدل RF در پژوهش مربوط به پتانسیل آب‌های زیرزمینی (۲۷) عملکرد پیش‌بینی بهتر مدل ME را نسبت به مدل RF نشان داد. مدل ME برخلاف الگوریتم‌های دیگر پادگیری ماشین مانند شبکه‌های عصبی مصنوعی (ANNs)، می‌تواند اطلاعات مفید را برای تفسیرها فراهم کند (۲۷). همچنین طبق نظر (۳۹) مدل ME در مقایسه با الگوریتم ماشین بردار پشتیبان از محاسبات ساده‌تری برخوردار بوده بنابراین سادگی، کارایی و

## منابع

1. Agrawal, D., J.K. Singh and A. Kumar. 2005. Maximum Entropy-based Conditional Probability Distribution Runoff Model. *Biosystems Engineering*, 90: 103-113.
2. Azarbagh, H. 2014. Evaluation of the amount of soil restoration in the formation and development of gaps in Jiroft plain. Master's dissertation, Islamic Azad University Zahedan, Faculty of Sciences, 87 pp (In Persian).
3. Berry, M.J. and G.S. Linoff. 2004. Data mining techniques. 2<sup>nd</sup> Edition. John Wiley and Sons.
4. Chen, W., H.R. Pourghasemi and S.A. Nagibi. 2017. A comparative study of landslide susceptibility maps produced using support vector machine with different kernel functions and entropy data mining models in China. *Bulletin of Engineering Geology and the Environment*, 1-18.
5. Elmizadeh, H. 2011. Morphological analysis and gradient in relation to erosion (Case study: Basin Nechi). *Geographic Information Magazine*, 80: 79-83 (In Persian).
6. Ercanoglu, M. and C. Gokceoglu. 2002. Assessment of landslide susceptibility for a landslide prone area (North of Yenice, NW Turkey) by fuzzy approach. *Environmental Geology*, 41: 720-730.
7. Jahani, S. and M. Delbrie. 2009. Estimation estimation of the maximum 24-hour rainfall in Golestan province. *Water Engineering Magazine*, 13-22 (In Persian).
8. Khosravi, K., H.R. Pourghasemi, K. Chapi and M. Bahri. 2016. Flash flood susceptibility analysis and its mapping using different bivariate models in Iran: a comparison between Shannon's entropy, statistical index, and weighting factor models. *Environ Mount Assess*, 188: 1-21.
9. Komac, M. 2006. A landslide susceptibility model using the analytical hierarchy process method and multivariate statistics in perialpine sloveni. *Geomorphology*, 74: 17-28.
10. Lee, S., I. Park and T.K. Choi. 2012. Spatial prediction of ground subsidence susceptibility using an artificial neural network. *Environmental Management*, 49: 347-358.
11. Li, Z., H. Zhou and Y. Xu. 2013. Research on prediction model of support vector machine based land subsidence caused by foundation pit dewatering. *Advanced Materials Research*, 105-108.
12. Lubis, A., T. Sato, N. Tomiyama, N. Isezaki and T. Yamanokuchi. 2011. Ground subsidence in Semarang-Indonesia investigated by ALOS-PALSAR satellite SAR interferometry. *Journal of Asian Earth Sciences*, 40: 1079-1088.
13. Minasny, B., A. Mcbratney and S. Blanes. 2008. Quantitative models for pedogenesis-a review. *Geoderma*, 144: 140-157.
14. Moghimi, A. and S. Negahban. 2012. Investigation of erosion in the watershed of Shahr Fadami River using entropy model. *Journal of Natural Geography Researches*, 33: 1-16 (In Persian).
15. Mohammad Khan, S.H, A. Wisey and K. Bagheri. 2014. Landslide hazard potential using entropy model, case study (Shirpanah mountainous area in southwest of Kermanshah province). *Geographic Quarterly of Territory*, 44: 89-103 (In Persian).
16. Ozdemir, A. 2016. Investigation of sinkholes spatial distribution using the weights of evidence method and GIS in the vicinity of Karapinar (Konya, Turkey). *Geomorphology*, 245: 40-50.
17. Park, I., J. Lee and S. Lee. 2014. Ensemble of ground subsidence hazard maps using fuzzy logic. *Center European Journal of Geosciences*, 6: 207-218.
18. Pourghasemi, H.R. and M. Beheshtirad. 2015. Assessment of a data-driven evidential belief function model and GIS for groundwater potential mapping in the Koohrang Watershed, Iran. *Geocarto International*, 30: 662-685.
19. Pourghasemi, H.R. and N. Kerle. 2016. Random forests and evidential belief function- based landslide susceptibility assessment in Western Mazandaran Province, Iran. *Environmental Earth Sciences*, 75: 1-17.
20. Pourghasemi, H.R., H.R. Moradi and S.M. Fatemi Aghda, C. Gokceoglu and B. Pradhan. 2014. GIS-based landslide susceptibility mapping with probabilistic likelihood ratio and spatial multi-criteria evaluation models (North of Tehran, Iran). *Arabian Journal of Geosciences*, 7: 1857-1878.
21. Pourghasemi, H.R., M. Mohammady and B. Pradhan. 2012. Landslide susceptibility mapping using index of entropy and conditional probability models in GIS: Safarood Basin, Iran. *Catena*, 97: 71-84.
22. Pourghasemi, H.R., S. Yousefi, A. Kornejady and A. Cerdi. 2017. Performance assessment of individual and ensemble data-mining techniques for gully erosion modeling. *Science of the Total Environment*, 609: 764-775.
23. Pourghasemi, H.R., H.R. Moradi, M. Mohammadi, R. Mostafazadeh and A.S. Golijerandeh. 2013. Landslide hazard zonation using the Bayesian theory. *Journal of Science and Technology of Agriculture and Natural Resources, Water and Soil Sciences*, 62: 109-121 (In Persian).
24. Pradhan, B. 2011. Manifestation of an advanced fuzzy logic model coupled with geoinformation techniques coupled with geoinformation techniques for landslide susceptibility analysis. *Environmental and Ecological Statistics*, 18: 471-493.
25. Pradhan, B., M.H. Abokharima, N.M. Jebur and M. Shafapour Tehrany. 2014. Land subsidence susceptibility mapping at Kinta valley (Malaysia) using the evidential belief function model in GIS. *Natural Hazards*, 73: 1019-1042.

26. Rahmati, O. and H.R. Pourghasemi. 2017. Identification of critical flood prone areas in data-scarce and ungauged regions: A comparison of three data mining models. *Water Resour Manage*, 31: 1473-1487.
27. Rahmati, O., H.R. Pourghasemi and A.M. Melesse. 2016. Application of GIS-based data driven random forest and maximum entropy models for groundwater potential mapping: A case study at Mehran Region, Iran. *Catena*, 137: 360-372.
28. Rahnama, H. and S. Mirasi. 2016. Analysis and Evaluation of Parameters Effecting on Earth Survival. *Journal of Civil Engineering*, 1: 45-53 (In Persian).
29. Rodriguez-Galiano, V. and M. Chica-Olmo. 2012. Land cover change analysis of a Mediterranean area in Spain using different sources of data: multi-seasonal Landsat images, land surface temperature, digital terrain models and texture. *Applied Geography*, 35: 208-218.
30. Saffari, A., F. Jafari and S.M. Tavakolisabour. 2016. Monitoring its land subsidence and its relation to groundwater extraction, Case study: Karaj-Shahriar Plain. *Quantitative Geomorphology Researches*, 2: 82-93 (In Persian).
31. Shadfar, S., A. Nasiri, S. Chitgar and A.S. Ahmadi. 2015. The zoning of the risk of land subsidence using the Analytical Hierarchy Process (AHP) method, the study area (Boein Zahra City). *Geographical Quarterly of the Territory, Scientific-Research*, 48: 101-116 (In Persian).
32. Sharifinia, M. 2012. Determination of the magnitude and extent of ground subsidence by the radar interferometry (D-InSAR) method in the Nough-Bahraman plain. *Planning and Approach Space*, 3: 56-77 (In Persian).
33. Soleimani, K., J. Zandi and M. 2013. Habibnejad Roshan. Evaluation of the efficiency of frequency ratio methods, bivariate statistics in the preparation of a landslide sensitivity map (case study: Mazandaran Vazrood watershed). *Engineering geology and environment*, 94: 41-50 (In Persian).
34. Tihansky, A.B. 1999. Sinkholes, West-Central Florida, 121-141.
35. USGS (United States Geological Survey). 2011. Research and review information located, Assess on September <http://water.usgs.gov/ogw/pubs/fs00165>.
36. Ustun, A., E. Tusat. S. Yalvac. I. Ozkan. Y. Eren and A. Odemir. 2015. Land subsidence in Konya closed basin and its spatio-temporal detection by GPS and DINSAR. *Environmental Earth Sciences*, 73: 6691-6703.
37. Yesilnacar, E.K. 2005. The application of computational intelligence to landslide susceptibility mapping in Turkey. Ph.D Thesis, Department of Geomatics the University of Melbourne, 423 pp.
38. Yilmaz, I. 2007. GIS based susceptibility mapping of karst depression in gypsum: A case study from Sivas basin (Turkey). *Engineering Geology*, 90: 89-103.
39. Yilmaz, I. 2013. Marschalko M, Bednarik, M. An assessment on the use of bivariate, multivariate and soft computing techniques for collapse susceptibility in GIS environ. *Journal of Earth System Science*, 122: 371-388.
40. Yin, J., D. Yu and R. Wilby. 2016. Modelling the impact of land subsidence on urban pluvial flooding; A case study of downtown Shanghai, China. *Science of the Total Environment*, 544: 744-753.
41. Zare, M., H.R. Pourghasemi, M. Vafakhah and B. Pradhan. 2013. Landslide susceptibility mapping at Vaz watershed (Iran) using an artificial neural network model: a comparison between multi-layer perceptron (MLP) and radial basic function (RBF) algorithms. *Arabian Journal of Geoscience*, 6: 2873-2888.
42. Zongji, Y., J. Qiao and X. Zhang. 2010. Regional landslide zonation based on entropy method in three gorges area, China. *Seventh International Conference on Fuzzy System and Knowledge Discovery*, (FSKD 2010).

## Spatial Simulation and Land-Subsidence Susceptibility Mapping Using Maximum Entropy Model

**Sahar Abdollahi<sup>1</sup>, Hamid Reza Pourghasemi<sup>2</sup>, Gholamabbas Ghanbarian<sup>1</sup>  
and Roja Safaeian<sup>1</sup>**

---

1- Department of Natural Resources and Environmental Engineering, College of Agriculture, Shiraz University

2- Department of Natural Resources and Environmental Engineering, College of Agriculture, Shiraz University,

(Corresponding Author: hr.pourghasemi@shirazu.ac.ir)

Received: February 6, 2018

Accepted: August 27, 2018

---

### Abstract

The aim of this research is spatial Simulation and land subsidence susceptibility mapping using maximum entropy model in Jiroft and Anbarabad Townships. At first, land subsidence locations were recognized using extensive field surveys and subsequently the land subsidence distribution map was made in the geographic information system. Then, each of effective factors on land subsidence occurred in study area such as: percent slope, aspect direction, altitude classes, profile curvature, plan curvature, topographic wetness index (TWI), distance of drainage, lithology units, pizometric data, land use, and normalized difference vegetation index (NDVI) digitized in GIS environment. Then, using frequency ratio (FR) method, the weight of the classes of each factor and was determined. Finally, land subsidence susceptibility map in the study area was prepared using the model maximum entropy. The results of validation of model using 30% of the unused points in the modeling process and according receiver operating characteristic (ROC) showed that the map of land subsidence susceptibility obtained from the maximum entropy had the high accuracy of ARC value of 0.859 (85.9%). Therefore, the zoning map can play a significant role in water resource management and identification of critical areas according to extracting groundwater table in the study area.

**Keywords:** Frequency ratio, GIS, Land subsidence, Maximum entropy